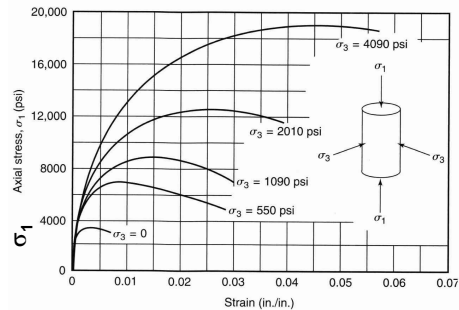
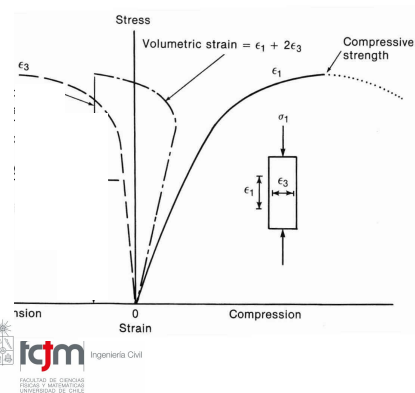


## Análisis no lineal del hormigón armado

- Hormigón en compresión – Confinado
  - Expansión por efecto de Poisson
  - Confinamiento por refuerzo de corte o perimetral



$$\sigma_1 = f'_c + 4.1\sigma_3$$

Nota: En hormigones de alta resistencia y hormigones livianos el efecto de confinamiento disminuye (coeficiente bajo de 4.1 a 2.0)

## Análisis no lineal del hormigón armado

- Hormigón en compresión – Confinado

- Presión de confinamiento ( $f_l$ )

$$(\sigma_1 = f'_{cc}) = f'_c + 4.1(\sigma_3 = f_l = \frac{2A_s f_y}{b_c s})$$

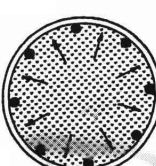
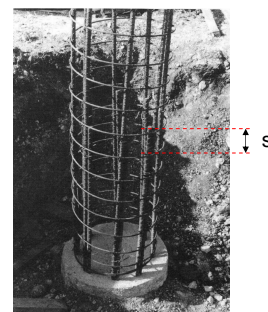
- Cuantía volumétrica ( $\rho_s$ )

$$\rho_s = \frac{\text{volumen de barra espiral}}{\text{volumen de hormigón confinado}} = \frac{A_s \pi b_c}{s \pi b_c^2 / 4} = \frac{4A_s}{sb_c}$$

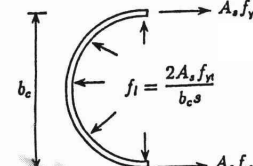
$$\Rightarrow f'_{cc} = f'_c + 4.1\left(\frac{2A_s f_y}{b_c s}\right) \approx f'_c + 2\rho_s f_y$$

$$\Rightarrow f'_{cc} = f'_c + 4.1\left(\frac{2A_s f_y}{b_c s}\right) \approx 0.85 f'_c + 2\rho_s f_y$$

Coeficiente para el caso de **columnas** producto de:  
 (a) aplicación de cargas lentas, y  
 (b) Debilitamiento de hormigón superficial (cara superior) por migración de agua en hormigón fresco



$b_c$  medido centro a centro del acero de estribo o zuncho

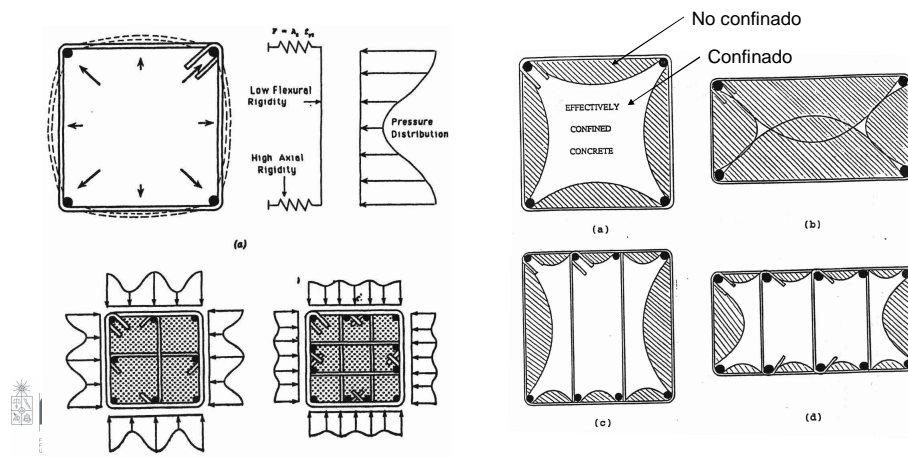


## Análisis no lineal del hormigón armado

- Hormigón en compresión – Confinado

- Presión lateral efectiva ( $f_{le}$ )

- Distribución no uniforme transversal (columna rectangular)

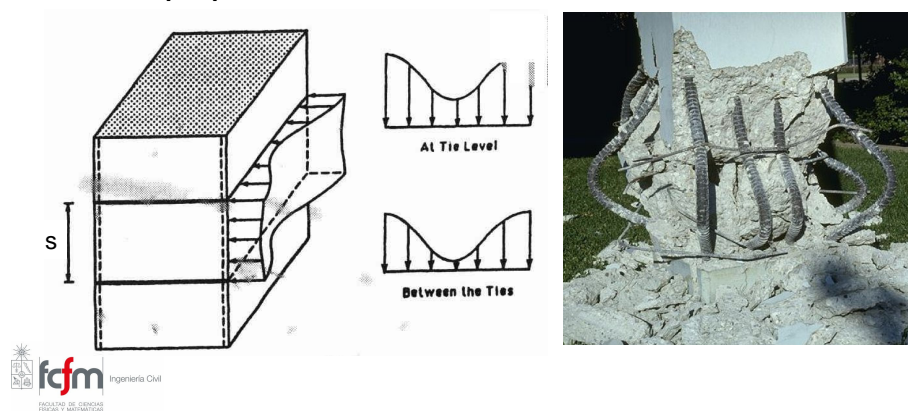


## Análisis no lineal del hormigón armado

- Hormigón en compresión – Confinado

- Presión lateral efectiva ( $f_{le}$ )

- Distribución no uniforme a lo largo de la columna (s)
    - El efecto de distribución asume que las barras no fallarán por pandeo local entre estribos o el zuncho



## Análisis no lineal del hormigón armado

- Hormigón en compresión – Confinado**

Saatcioglu & Razvi (1992) (otros modelos disp.)

- Presión lateral efectiva ( $f_{le}$ )

$$f'_{cc} = f'_c + k_1 f_{le}$$

$$k_1 = 6.7 (f_{le})^{-0.17} \quad \text{Para } 30 > f_l > 3 \text{ MPa (programa experimental)}$$

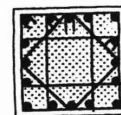
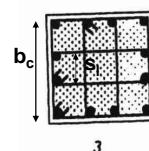
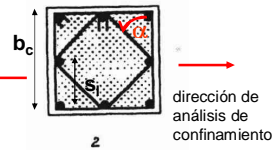
$$f_{le} = k_2 f_l$$

- Efecto de cantidad y dirección de ramas de refuerzo

$$f_l = \frac{\sum A_s f_{yt} \sin \alpha}{b_c s} \quad (\text{caso general de confinamiento})$$

$$k_2 = 0.26 \sqrt{\frac{b_c}{s} \frac{b_c}{s_l} \frac{1}{f_l}} \leq 1$$

$k_2 = 1$  para sección circular  
 $s_l$  = espaciado lateral de barras longitudinales apoyadas (**centro a centro de barras longitudinales**). Conservadoramente se puede utilizar el mayor valor



## Análisis no lineal del hormigón armado

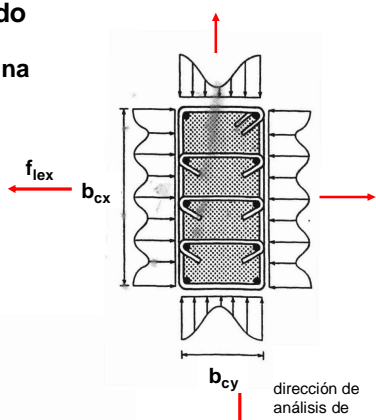
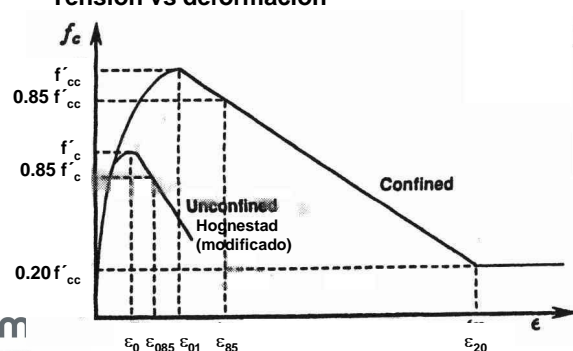
- Hormigón en compresión – Confinado**

Saatcioglu & Razvi (1992)

- Presión lateral efectiva ( $f_{le}$ ) en columna rectangular

$$f_{le} = \frac{f_{lex} b_{cx} + f_{ley} b_{cy}}{b_{cx} + b_{cy}}$$

- Tensión vs deformación



## Análisis no lineal del hormigón armado

- Hormigón en compresión – Confinado**

Saatcioglu & Razvi (1992)

- Deformación para el máximo de capacidad ( $f'_{cc}$ )

$$\varepsilon_1 = \varepsilon_{01} (1 + 5K)$$

$$K = \frac{k_1 f_{le}}{f'_c} \quad \text{Relación de aumento de capacidad axial}$$

- Ductilidad

$$\varepsilon_{85} = 260\rho\varepsilon_1 + \varepsilon_{085}$$

$$\rho = \frac{\sum A_s \sin \alpha}{(b_{cx} + b_{cy})s}$$

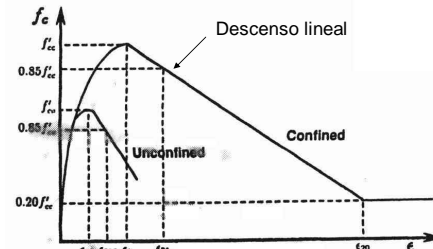
Cuantía de volumen de refuerzo total (direcciones x e y).  
En el caso de espirales se reduce a la expresión:

$$\rho = \frac{2A_s}{sb_c}$$

- Tensión vs deformación



$$\frac{f_c}{f'_{cc}} = \left[ 2\left(\frac{\varepsilon_c}{\varepsilon_1}\right) - \left(\frac{\varepsilon_c}{\varepsilon_1}\right)^2 \right]^{1/(1+2K)} \leq 1 \quad \text{Curva ascendente (hasta la capacidad máxima)}$$



## Análisis no lineal del hormigón armado

- Modelamiento en flexión con carga axial**

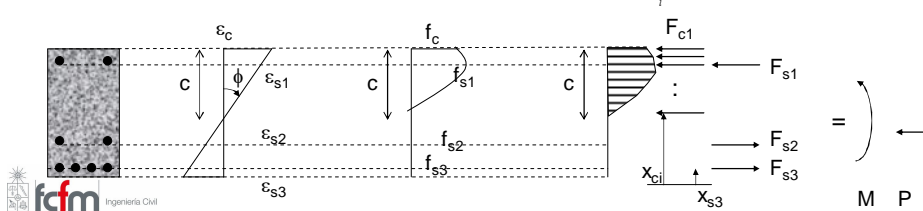
- Metodología:

- Seleccionar valor de  $\phi$
- Establecer valor tentativo para  $\varepsilon_c$  (o  $\varepsilon_s$ )
- Determinar  $f_c$  y  $f_s$  (tensiones en hormigón y acero)
- Determinar  $F_c$  y  $F_s$  (fuerzas asociadas al hormigón y acero). Usar área tributaria para hormigón
- Determinar la resultante de las fuerzas y verificar que:

$$P = \sum_i F_{ci} + F_{si} = P_{ext} \quad \text{sino}$$

- Determinar la resultante de momento:

$$M = -P_{ext}x_P + \sum_i F_{ci}x_{ci} + F_{si}x_{si}$$

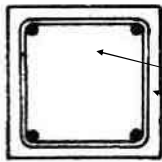


FACULTAD DE CIENCIAS  
FISICAS Y MATEMATICAS  
UNIVERSIDAD DE CHILE

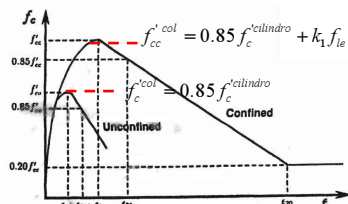
## Comportamiento de columnas

- **Compresión pura**

- Hormigón confinado ( $f'_{cc}$ ) y no confinado ( $f'_c$ )



Confinado  
No confinado  
(alcanzada la capacidad axial el hormigón se desprende rápidamente)



- Capacidad axial

$$\begin{aligned} P &= \sum f'_c^{col} A_{NC} + f'_{cc}^{col} A_C + f_s A_s \\ &= \sum 0.85 f'_c A_{NC} + (0.85 f'_c + k_1 f_{le}) A_C + f_s A_s \end{aligned}$$

Coeficiente 0.85 para el caso de **columnas** producto de: (a) aplicación de cargas lentas, y  
(b) Debilitamiento de hormigón superficial (cara superior) por migración de agua en hormigón fresco

## Análisis no lineal del hormigón armado

- **Modelamiento en flexo-compresión (confinado y no confinado)**

- Metodología:

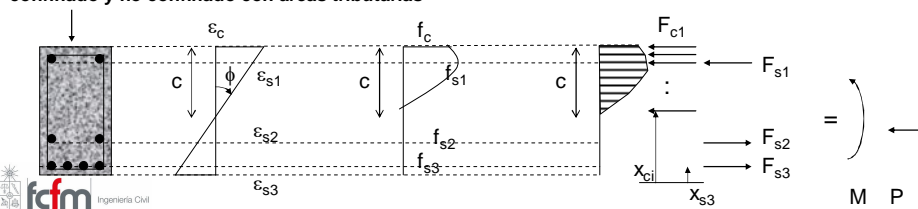
- Seleccionar valor de  $\phi$
- Establecer valor tentativo para  $\epsilon_c$  (o  $\epsilon_s$ )
- Determinar  $f_c$  y  $f_s$  (tensiones en hormigón y acero)
- Determinar  $F_c$  y  $F_s$  (fuerzas asociadas al hormigón y acero). Usar área tributaria para hormigón
- Determinar la resultante de las fuerzas y verificar que:

$$P = \sum_i F_{ci} + F_{si} = P_{ext} \quad \text{sino}$$

- Determinar la resultante de momento:

$$M = -P_{ext} x_P + \sum_i F_{ci} x_{ci} + F_{si} x_{si}$$

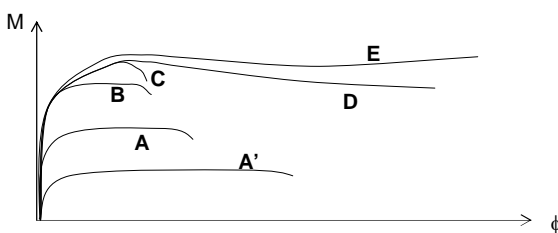
Discretización de fuerzas (franjas) para hormigón confinado y no confinado con áreas tributarias



## Análisis no lineal del hormigón armado

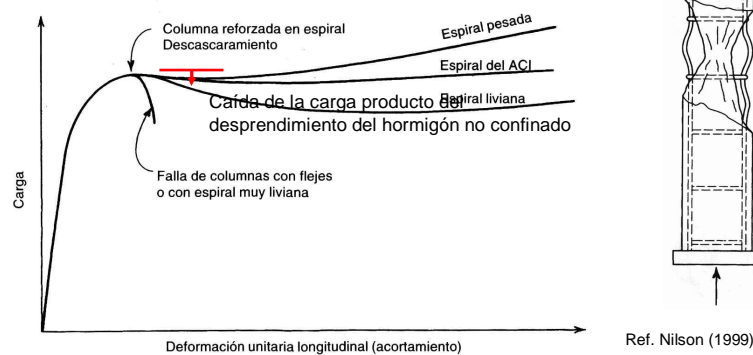
- Respuesta de Momento-Curvatura (viga)

	A	B	C	D	E	A'
$f_y$ [MPa]	280	420	420	420	420	280
Endurecimiento en acero	no	no	si	si	si	no
$\rho$	~1%	~1%	~1%	~1%	~1%	~0.5%
$\rho'$	0	0	0	0	~0.5%	0
$f_c$ [MPa]	30	30	30	30	30	30
Confinado	no	no	no	si ( $\rho \sim 1\%$ )	si ( $\rho \sim 1\%$ )	no



## Comportamiento de columnas

- Armadura transversal para columnas
  - Evitar pandeo de barras longitudinales
  - Confinamiento (aumento de capacidad a compresión y deformación axial)
  - Esfuerzo de corte



# Comportamiento de columnas

## • Armadura transversal para columnas

- Confinamiento mínimo para mantener carga axial
  - Zunchos o espirales

Antes del  
desprendimiento del  
hormigón no confinado

$$P_0 = 0.85 f'_c (A_g - A_s) + f_y A_s$$

$A_g$  = sección bruta de hormigón  
 $A_s$  = sección de acero

Después del  
desprendimiento del  
hormigón no confinado

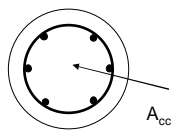
$$P_1 = (0.85 f'_c + 2\rho_s f_{yt}) A_{cc} + f_y A_s$$

$A_{cc}$  = sección confinada de hormigón  
(medida al borde exterior del zuncho o estribo)  
 $f_{yt}$  = tensión de fluencia de acero transversal

$$\Rightarrow 0.85 f'_c (A_g - A_s) + f_y A_s = (0.85 f'_c + 2\rho_s f_{yt}) A_{cc} + f_y A_s$$

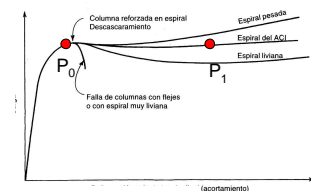
$$\Rightarrow \rho_s = \frac{0.85 f'_c}{2 f_{yt}} \left( \frac{A_g}{A_{cc}} - 1 \right) \sim 0$$

$$\Rightarrow \rho_s \geq \rho_{s,\min} \approx 0.45 \left( \frac{A_g}{A_{cc}} - 1 \right) \frac{f'_c}{f_{yt}} \quad (\text{ACI 318-05 Ec. 10-5})$$



\*MKP = modelo de confinamiento  
modificado de Kent y Park (1982)

FÍSICA Y MATEMÁTICAS  
UNIVERSIDAD DE CHILE



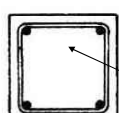
# Comportamiento de columnas

## • Armadura transversal para columnas

- Confinamiento mínimo para mantener carga axial
  - Estribos

$$P_0 = 0.85 f'_c (A_g - A_s) + f_y A_s$$

$$P_1 = (0.85 f'_c + k 2\rho_s f_{yt}) A_{cc} + f_y A_s$$

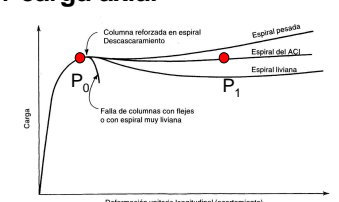


$$\Rightarrow 0.85 f'_c (A_g - A_s) + f_y A_s = (0.85 f'_c + k 2\rho_s f_{yt}) A_{cc} + f_y A_s$$

$$\Rightarrow \rho_s = \frac{0.85 f'_c}{k 2 f_{yt}} \left( \frac{A_g}{A_{cc}} - 1 \right) \sim 0$$

$$\Rightarrow \rho_s = 0.425 \left( \frac{A_g}{A_{cc}} - 1 \right) \frac{f'_c}{f_{yt}} \frac{1}{k} = \frac{4A_b}{b_c s} \quad \begin{matrix} \text{Sección} \\ \text{cuadrada} \\ (1 \text{ estribo}) \end{matrix}$$

$$\Rightarrow A_{sh} \equiv 2A_b = 0.213 b_c s \left( \frac{A_g}{A_{cc}} - 1 \right) \frac{f'_c}{f_{yt}} \frac{1}{k} \quad \leftarrow k \sim 0.75 \text{ (ACI 318)}$$



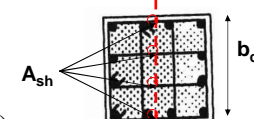
$k$  = similar a  $k_2$  (efectividad del confinamiento)

$A_b$  = sección de 1 barra de acero

$A_{sh}$  = sección transversal de acero que cruza

$b_c$  (proyección de barras inclinadas)

$s$  = espaciamiento de estribos



\*MKP = modelo de confinamiento  
modificado de Kent y Park (1982)

FÍSICA Y MATEMÁTICAS  
UNIVERSIDAD DE CHILE

$$\Rightarrow A_{sh} \geq A_{sh,\min} \approx 0.3 b_c s \left( \frac{A_g}{A_{cc}} - 1 \right) \frac{f'_c}{f_{yt}} \quad (\text{ACI 318-05 Ec. 21-3})$$

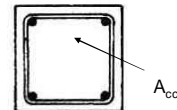
## Diseño sísmico

- **Armadura transversal para columnas**

- **Confinamiento mínimo para mantener carga axial**

- **Estríbos**

$$A_{sh} \geq 0.3b_c s \left( \frac{A_g}{A_{cc}} - 1 \right) \frac{f'_c}{f_{yt}}$$



- **Columnas con gran sección transversal**

$\Rightarrow A_g \approx A_{cc}$  Se considera un valor mínimo (nominal)  $\Rightarrow$  Asume  $A_g/A_{cc} \approx 1.3$

$$A_{sh} \geq 0.09b_c s \frac{f'_c}{f_{yt}} \quad \text{Estríbos (Ec. 21-4)}$$

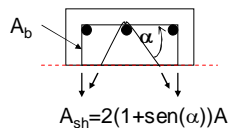
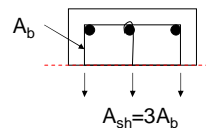
$A_{sh}$  = sección transversal de acero que cruza  $b_c$

$A_g$  = sección bruta de hormigón

$A_{cc}$  = sección confinada de hormigón

(medida al borde exterior del zuncho o estríbo)

Ejemplo cálculo  $A_{sh}$



## Diseño sísmico

- **Armadura transversal para columnas**

- **Necesidad de Confinamiento**

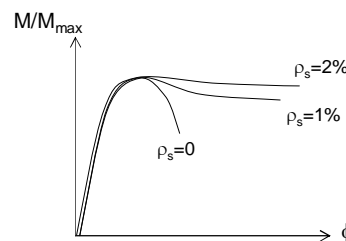
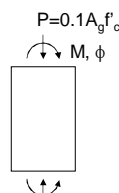
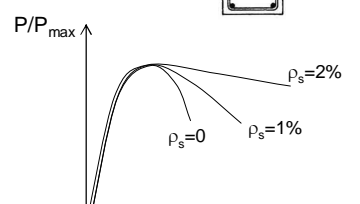
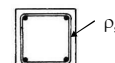
- Necesidad de confinamiento varía con la carga axial ( $P$ ), o nivel de deformaciones ( $\delta$ )

- Aumentos considerables de cuantía de confinamiento no tienen gran impacto en flexión (menor zona comprimida)

- La cuantía de confinamiento no es el único parámetro que permite una respuesta dútil (espaciamiento horizontal y vertical también influyen)

Ej:

$$k_2 = 0.26 \sqrt{\frac{b_c}{s} \frac{b_c}{s_t} \frac{1}{f_t}} \leq 1$$



## Diseño sísmico

- **Armadura transversal para columnas**

- **Espaciamiento vertical (s) - S.21.4.4.2**

- Suficiente para garantizar buen confinamiento

$$s \leq \frac{1}{4} \{ \text{menor dimensión } b \text{ ó } h \}$$

- Limitar espacio horizontal de ganchos

$$s \leq s_o \quad s_o = 100 + \left( \frac{350 - h_x}{3} \right) \leq 150 \text{ mm}$$

$\geq 100 \text{ mm}$

$$h_x \leq 350 \text{ mm}$$

$h_x$  = distancia centro a centro de ganchos o ramas de estribos

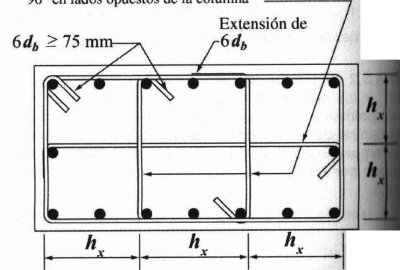
- Evitar pandeo local



$$s \leq 6d_b$$



Los ganchos suplementarios consecutivos que enlanzan la misma barra longitudinal deben tener sus ganchos de 90° en lados opuestos de la columna



## Diseño sísmico

- **Armadura transversal para columnas**

- **Espaciamiento vertical (s) - S.21.4.4.2**

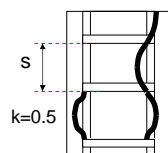
- Evitar pandeo local

$$s \leq 6d_b$$

$$P_{cr} = \frac{\pi^2 \cdot EI}{(kl)^2} = \frac{\pi^2 \cdot EA}{\left(\frac{kl}{r}\right)^2}$$

$$\Rightarrow \frac{P_{cr}}{A} = f_s = \frac{\pi^2 \cdot E}{\left(\frac{kl}{r}\right)^2}$$

$$\Rightarrow s = \frac{\pi}{4k} \sqrt{\frac{E_s = 2 \cdot 10^5 \text{ MPa}}{f_s}} d_b \approx 23d_b$$



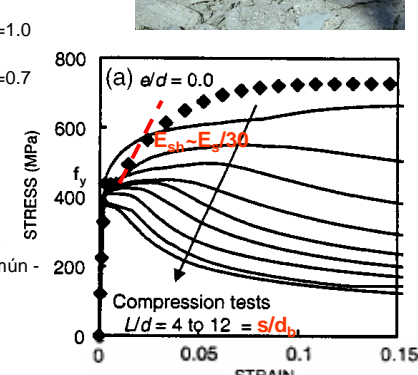
$$r=d_b/4$$

$$k \sim 0.75$$

$$E=E_{sh} \sim E_s/20 \text{ a } E_s/30$$

$$f_s=f_y = 420 \text{ MPa (común - sin endurecimiento)}$$

$$l=s \text{ (espaciamiento)}$$



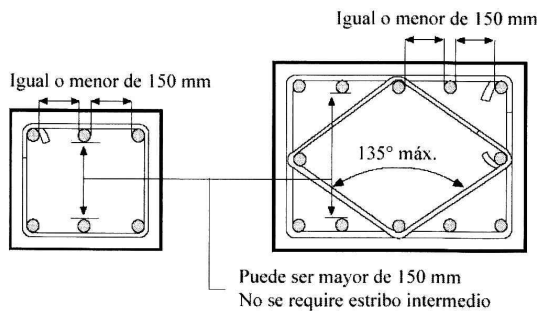
FACULTAD DE CIENCIAS FÍSICAS Y MATEMÁTICAS  
UNIVERSIDAD DE CHILE

# De CI42B: Flexo-compresión

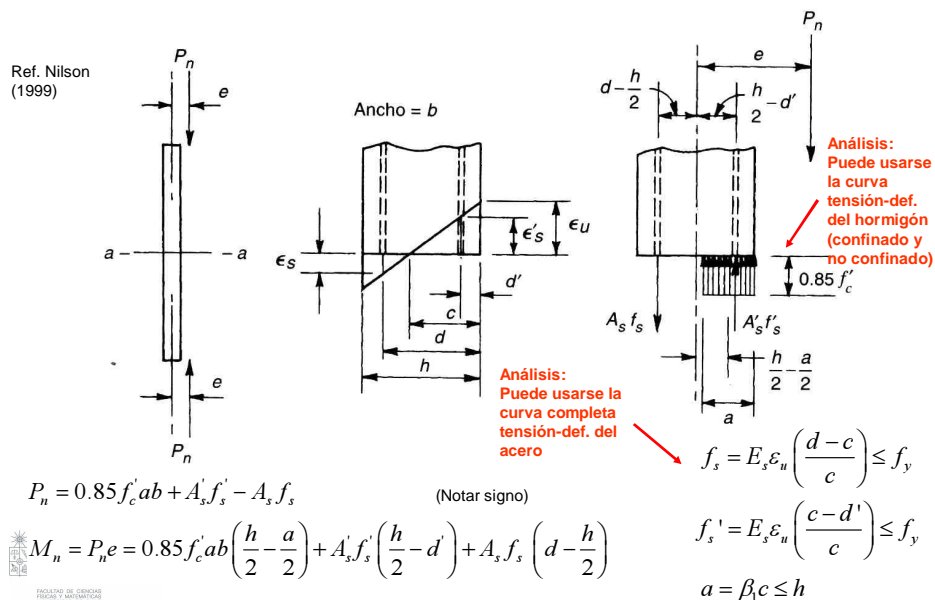
## Detalle de Armadura transversal para columnas

### (a) Estripos (S.7.10.5.3)

- Cada barra longitudinal de esquina y cada barra alterna debe estar apoyada por un estribo (con ángulo menor a 135°)
- Separación menor a 150mm a barra apoyada lateralmente



# Flexo-compresión



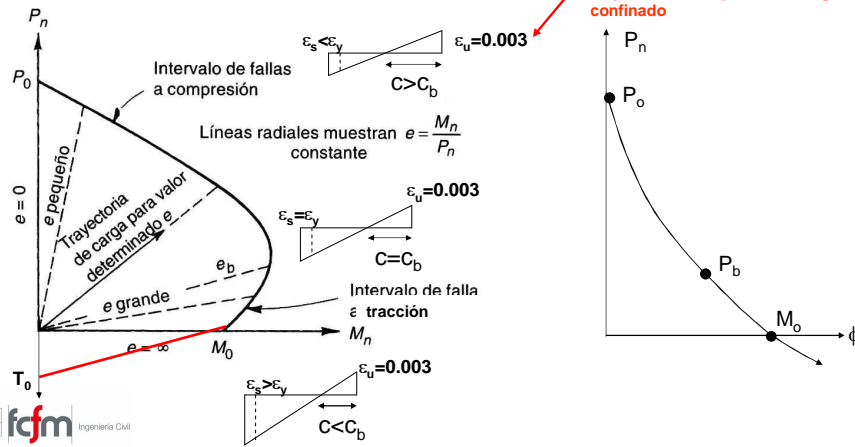
## Flexo-compresión

$$P_n = P_n(c)$$

$P_n$  y  $M_n$  son dependiente de sólo una incógnita. Ej.  $e$ ,  $c$ ,  $P_n$  o  $M_n$

$$M_n = P_n e = M_n(c)$$

Análisis: Pueden considerarse mayores valores para el hormigón confinado

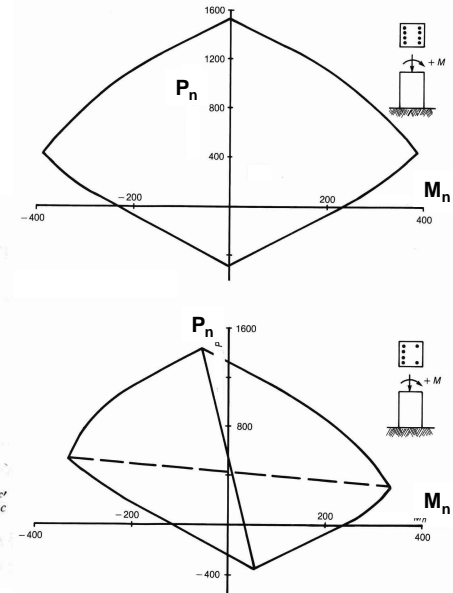


## Flexo-compresión

### Casos especiales

-Columnas asimétrica

Ref. Nilson (1999)



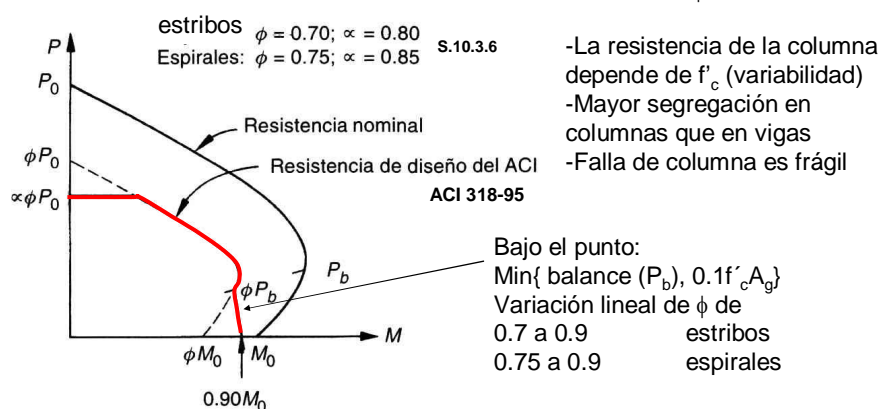
## Diseño en Flexo-compresión

**Criterio de Diseño**

$$\phi P_n \geq P_u$$

$$\phi M_n \geq M_u$$

Coeficiente  $\phi$



## Diseño

$\phi$  : coeficiente de reducción de resistencia, ACI 318-05

